

Таким образом, корреляция между величиной фотопроводимости и шириной хвоста ВЗ (рис. 1) может отражать факт их одинаковой зависимости от неоднородности пленки: при возрастании доли микрополостей происходят и расширение хвоста ВЗ, и рост числа соседствующих водородных комплексов и оборванных связей, что влечет за собой падение σ_{ϕ} . Безусловно, это эффект второго порядка, наблюдающийся при специальных условиях, который часто поддается прямым изменением числа рекомбинационных центров. В нашем случае, как было отмечено выше, уровень Ферми находился в одном фиксированном положении для всех образцов; кроме того, плотность состояний в середине щели подвижности, определенная методом емкостной спектроскопии, менялась от образца к образцу незначительно и составляла $5 \cdot 10^{17} \text{ эВ}^{-1} \cdot \text{см}^{-3}$. После облучения исследуемых образцов ионами Ar⁺ (энергия 105 кэВ, доза $3 \cdot 10^{15} \text{ см}^{-2}$) хвост ВЗ несколько расширялся (плотность состояний в выбранной точке может возрасти в 2 раза), однако фотопроводимость совсем исчезает, т. е. соответствующие точки выпадают из графика рис. 1, как показано стрелками. Это резкое изменение σ_{ϕ} связано уже с непосредственным ростом числа оборванных связей (плотность состояний вблизи ϵ_F возрастает до $5 \cdot 10^{19} \text{ эВ}^{-1} \cdot \text{см}^{-3}$), что маскирует более слабое влияние изменения скорости рекомбинации через них. Поэтому график, представленный на рис. 1, не является универсальным.

Список литературы

- [1] Голикова О. А., Андреев А. А., Казанин М. М., Мездрогина М. М., Сорокина К. Л., Феоктистов Н. А. // ФТП. 1983. Т. 17. В. 7. С. 1255—1258.
- [2] Терехов В. А., Голикова О. А., Домашевская Э. П., Тростянский С. Н., Мездрогина М. М., Сорокина К. Л. // ФТП. 1984. Т. 18. В. 10. С. 1897—1899.
- [3] Madan A. H., Menna P., Tsu R. // Appl. Phys. Lett. 1987. V. 51. N 15. P. 1167—1169.
- [4] Bhattacharya E., Madan A. H., Crandall R. S., Pankove J. I. // Appl. Phys. Lett. 1989. V. 54. N 13. P. 1244—1249.
- [5] Stutzmann M., Jackson W. B., Tsai C. C. // Phys. Rev. B. 1985. V. 32. N 1. P. 23—47.
- [6] Halperin V. // J. Mon-Cryst. Sol. 1989. V. 114. P. 441—443.
- [7] Мездрогина М. М., Бардамид А. Ф., Голикова О. А., Казанин М. М., Кудоярова В. Х., Сорокина К. Л. // Изв. АН СССР. Неорг. матер. 1990. Т. 26. В. 9. С. 1809—1813.

Физико-технический институт
им. А. Ф. Иоффе АН СССР
Ленинград

Получено 20.03.1991
Принято к печати 26.03.1991

ФТП, том 25, вып. 8, 1991

ФОТОПРОВОДИМОСТЬ И КОНДЕНСАТОРНАЯ ФОТОЭДС В δ -ЛЕГИРОВАННЫХ СЛОЯХ GaAs

Бедный Б. И., Карпович И. А., Байдус Н. В., Болдыревский П. Б.,
Степанов А. С., Федосеева Н. В.

В последнее время проявляется интерес к δ -легированным слоям (ДЛС) полупроводников в связи с перспективами их использования в поверхностно-барьерных приборах СВЧ электроники [1—3]. В данной работе сообщается о некоторых особенностях фотоэлектрических свойств ДЛС арсенида галлия.

ДЛС толщиной $d \approx 0.5$ мкм были получены МОС гидридной эпитаксией на подложках полуизолирующего арсенида галлия с кристаллографической ориентацией (100). Для формирования легированной области (δ -слоя) процесс эпитаксии приостанавливается на время, необходимое для осаждения моноатомного слоя германия путем термораспада GeH₄. После этого эпитаксиальное наращивание возобновлялось и создавался покровный слой GaAs толщиной $d_1 \approx 0.1$ мкм. Полученные в таких же условиях без δ -легирования слои имели концентрацию $n_0 \sim (10^{14}—10^{15}) \text{ см}^{-3}$ и подвижность $\approx 6 \cdot 10^3 \text{ см}^2/\text{В}\cdot\text{с}$. Оценка

профиля концентрации носителей заряда, проведенная в аналогичных структурах [4], показала, что полуширина концентрационного пика не превышает 10 нм. Значения дрейфовой подвижности электронов в δ -слое, полученные методом дифференциального эффекта поля, при комнатной температуре составляли $\approx 2.2 \cdot 10^3$ см²/В·с. Приведенная к поверхностной концентрации электронов в ДЛС, вычисленная по результатам совместных измерений проводимости и подвижности, оказалась равной $\approx (5-7) \cdot 10^{12}$ см⁻². По темновой проводимости ДЛС соответствовали равномерно легированным слоям (РЛС) такой же толщины с $n_0 \sim 10^{17}$ см⁻³, которые и использовались в качестве контрольных образцов для сравнения.

Исследовались планарная фотопроводимость ($\Delta\sigma_\phi$) и конденсаторная фотоэдс (ΔV_ϕ) по методике, описанной в работе [5].

Спектральные характеристики измерялись в режиме малого сигнала, когда фотоответ пропорционален интенсивности падающего излучения, и перестраивались к одинаковой интенсивности.

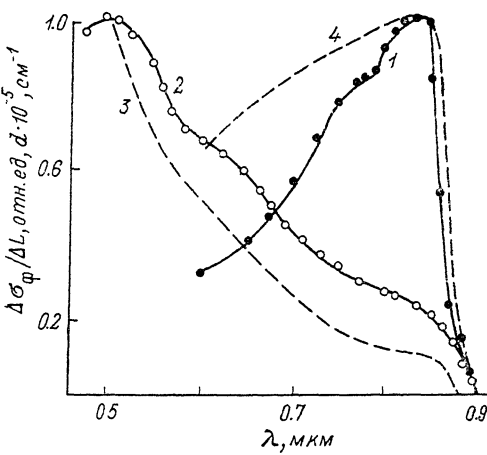


Рис. 1. Спектральные характеристики фотопроводимости ДЛС (1) и РЛС (2).

Масштаб фоточувствительности для кривой 1 увеличен в 75 раз. Штриховые кривые: 3 — спектр поглощения, 4 — спектральное распределение фотопроводимости, рассчитанное с помощью соотношения (2).

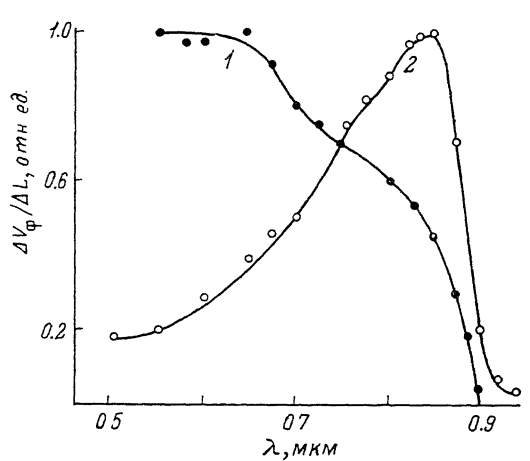


Рис. 2. Спектральное распределение конденсаторной фотоэдс в ДЛС.

1 — ΔV_ϕ при $\lambda = 0.5$ мкм, 2 — ΔV_ϕ при $\lambda = 0.55$ мкм.

Специфические отличия ДЛС проявлялись в их аномально низкой фоточувствительности по фотопроводимости и в качественно ином характере спектрального распределения (рис. 1). В ДЛС максимум фоточувствительности расположен вблизи края полосы собственного поглощения (≈ 0.84 мкм) и наблюдается довольно резкий спад ее в коротковолновой области (кривая 1), в то время как в РЛС в этой области имеет место рост фоточувствительности и максимум ее достигается при значительно более коротких длинах волн (≈ 0.5 мкм). Рост фоточувствительности в глубине полосы поглощения, очевидно, обусловлен ростом коэффициента поглощения (кривая 3)¹ и характерен для тонких слоев полупроводников при $ad \ll 1$, где a — коэффициент поглощения.

Абсолютная фоточувствительность ДЛС в максимуме была примерно на порядок меньше ее значения у РЛС при той же (0.84 мкм) длине волны. Интересно, что в отличие от фотопроводимости темновой потенциал поверхности, поверхностная фотоэдс и ее люкс-вольтовая характеристика практически не различались (фотоэдс $\approx 0.5-0.55$ В). Этот результат свидетельствует об отсутствии существенных различий в состоянии поверхности слоев и не позволяет объяснить малую величину и аномальное спектральное распределение фотопроводимости в ДЛС на основе предположения о высокой скорости поверхностной рекомбинации в этих слоях.

¹ Зависимость $a(\lambda)$ построена по данным работы [6].

В [5] было показано, что явление планарной фотопроводимости в слоях GaAs хорошо описывается в рамках барьерной модели, согласно которой фотопроводимость обусловлена модуляцией ширины поверхностного и внутреннего $n-i$ -барьеров при освещении. Из этой модели следует, что величина барьера фотопроводимости

$$\Delta\sigma \sim n_0^{1/2} \Delta V_\phi. \quad (1)$$

Из (1) вытекает, что основной причиной низкой фоточувствительности ДЛС является низкая концентрация электронов n_0 за пределами δ -слоя. Отношение фоточувствительностей ДЛС и РЛС примерно соответствует ожидаемому, согласно (1), отношению равновесных концентраций слоев.

Для выяснения причин коротковолнового спада фоточувствительности в ДЛС и оценки вклада в фотопроводимость поверхностного и внутреннего барьера были измерены спектральные характеристики фотоэдс обоих барьеров ($\Delta V_{\phi 1}$ и $\Delta V_{\phi 2}$ соответственно).² Из сравнения кривых на рис. 2 с кривой 1 на рис. 1 видно, что спектр фотопроводимости ДЛС практически совпадает со спектром фотоэдс на внутреннем барьере, что однозначно указывает на его определяющую роль и пренебрежимо малый вклад поверхностного барьера в фотопроводимость ДЛС, несмотря на большую величину поверхностной фотоэдс.

Этот результат свидетельствует об отсутствии модуляции толщины слоя истощения в покровном слое, что следовало ожидать, так как его толщина существенно меньше длины экранирования. Полная экранировка поля поверхностного заряда происходит лишь в δ -слое благодаря высокой плотности квазидвумерного электронного газа и, таким образом, покровный слой выступает в роли изолятора, разделяющего проводящий канал δ -слоя и поверхность структуры. По этой причине он практически нефотоактивен в барьерной фотопроводимости, в то же время сильное поле в этом слое ($\sim 10^5$ В/см) эффективно разделяет генерированные в нем неравновесные photoносители и обеспечивает возникновение значительной поверхностной фотоэдс.

Покровный слой не только не участвует в фотопроводимости ДЛС, но из-за его светофильторного действия уменьшается фоточувствительность внутреннего барьера особенно сильно в коротковолновой области, где коэффициент поглощения GaAs достигает $\sim 10^5$ см⁻¹ ($ad \sim 1$). Естественно предположить, что фоточувствительность внутреннего барьера пропорциональна числу фотонов, поглощенных на длине собирания l , за вычетом числа фотонов, поглощаемых в нефотоактивной области толщиной d_1 , т. е.

$$\Delta\sigma/\Delta L \sim (1 - e^{-c l}) - (1 - e^{-c d_1}). \quad (2)$$

На рис. 1 (кривая 4) построено это распределение для $d_1 = 0.1$ мкм и $l = 3$ мкм. Видно, что оно качественно правильно описывает характер спектра фотопроводимости ДЛС. Величина $l = d + l_i + L$ (где $d \approx 0.5$ мкм, $l_i \approx 0.3$ мкм) — локализованная в подложке часть области пространственного заряда внутреннего барьера [7], L — длина амбиполярной диффузии в подложке. Вытекающая из спектральной характеристики ДЛС оценка $L \approx 2$ мкм хорошо согласуется с данными, полученными нами при исследовании времени жизни неравновесных носителей в полуизолирующих пластинах GaAs.

В заключение отметим, что представленные в данном сообщении результаты указывают на возможность применения фотоэлектрических методов для диагностики δ -легированных слоев.

Список литературы

- [1] Ploog K., Hauser M., Fischer A. // Appl. Phys. 1988. V. A45. N 3. P. 233—236.
- [2] Пашковский А. Б., Тагер А. С. // Электрон. техн. Сер. 1. Электроника СВЧ. 1983. № 3 (407). С. 28—31.

² Возможностьдельного определения $\Delta V_{\phi 1}$ и $\Delta V_{\phi 2}$ в $n-i$ -структуратах конденсаторным методом обсуждалась ранее в [6].

- [3] Васильев А. М., Копьев П. С., Надточий М. Ю., Устинов В. М. // ФТП. 1989. Т. 23. В. 12. С. 2133—2137.
- [4] Болдыревский П. Б., Киселев И. В., Хрыкин О. И., Соловьев А. И. // Физические основы твердотельной электроники. I Всес. конф. Л., 1989. С. 260.
- [5] Карпович И. А., Бедный Б. И., Байдусь Н. В., Планкина С. М., Степихова М. В., Шилова М. В. // ФТП. 1989. Т. 23. В. 12. С. 2164—2170.
- [6] Серафин Б., Беннет Х. // Оптические свойства полупроводников. М., 1970. С. 445—486.
- [7] Костылев С. А., Прохоров Е. Ф., Уколов А. Т. // Обзоры по электрон. техн. Сер. 1. Электроника СВЧ. 1986. № 7. С. 3—9.

Нижегородский
государственный университет
им. Н. И. Лобачевского

Получено 14.05.1990
Принято к печати 1.04.1991

ФТП, том 25, вып. 8, 1991

ВОЛНЫ ПЕРЕКЛЮЧЕНИЯ ПРИ ОБРАТИМОМ ТЕПЛОВОМ ПРОБОЕ В ПОЛУПРОВОДНИКОВЫХ ПЛАСТИНАХ

Горобец Н. В., Гудыма Ю. В., Лихобабин Н. П.

Глубокая связь между фазовым переходом первого рода и обратимым тепловым пробоем отмечалась в литературе [1]. Как известно, в физических системах автоволны обычно представляют собой движение границы фазового перехода. Поэтому неудивительно существование волн переключения при обратимом тепловом пробое, изучению которых посвящена данная работа.

Кинетику тепловых процессов в полупроводниковой пластине, вдоль оси которой приложено постоянное электрическое поле E , а на торцах предполагается отсутствие специфических механизмов рассеяния энергии, описывают нелинейным параболическим уравнением

$$\frac{3}{2} n \frac{\partial \Theta}{\partial t} = \kappa \frac{\partial^2 \Theta}{\partial x^2} + \sigma(\Theta) E^2 - nv(\Theta)(\Theta - \Theta_0) \quad (1)$$

с граничными условиями

$$\left. \frac{\partial \Theta}{\partial x} \right|_{x=0, a} = 0. \quad (2)$$

В уравнениях (1), (2) приняты следующие обозначения: n — концентрация носителей, κ — теплопроводность образца, σ — удельная электропроводимость, $v(\Theta)$ — частота соударений, обусловливающих передачу тепла в решетку. Электронный газ достаточно большой плотности, так что функцию распределения носителей по энергиям можно считать максвелловской с электронной температурой Θ . Температура внешней среды (термостата) Θ_0 не совпадает с температурой электронного газа.

Пусть $E=E_0$, $v(\Theta)=\text{const}$. Температура образца будет определяться балансом тепловыделения P и теплоотвода Θ :

$$\sigma(\Theta) E^2 = nv(\Theta)(\Theta - \Theta_0). \quad (3)$$

Уравнение (3) можно решить графически. В случае обратимого теплового пробоя проводимость образца изменяется скачкообразно. Это приводит к тому, что в зависимости от величины E_0 возможно существование от одного (прямые 1 и 5) до трех (прямая 3) корней уравнения (3), т. е. $\Theta=\Theta_i$; в интервале $\Theta_1 < \Theta < \Theta_2$ (рис. 1). Такое изменение проводимости не сильно нарушает представление об обычном виде проводимости $\sigma=\sigma_0 \exp(-\Delta E/2k_B T)$, где ΔE — ширина запрещенной зоны полупроводника.